

нейтральному состоянию акцепторного центра железа. Отсутствие в спектре линии Fe^{2+} , которая должна соответствовать ионизованному состоянию центра, свидетельствует о малой степени заполнения акцепторной полосы, т. е. о том, что уровень Ферми находится в ее нижней части. Это соответствует малой по сравнению с концентрацией акцепторных центров железа плотности состояний в зазоре между положениями F в легированном и нелегированном образцах. Уровень Ферми в легированных железом образцах, полученных при $T_s = -380^\circ\text{C}$, по-видимому, привязан к акцепторной полосе железа, а значение $E_c = -0.80$ эВ указывает на положение этой полосы относительно E_F . Однако эта величина может оказаться верхней оценкой для $E_c - E_{\text{Fe}}$ (E_{Fe} — положение полосы железа), так как центры железа в основном нейтральны и F может быть зафиксирован ниже полосы железа. Центры железа могут, видимо, выступать и как центры рекомбинации, что уменьшает фотопроводимость легированного материала (рис. 1).

В отличие от железа примесные атомы европия увеличивают электропроводность $a\text{-Si(H)}$, но легирующий эффект, как и для железа, возрастает при увеличении T_s (см. рис. 1 и таблицу). Коэффициент термоэдс и оптическая ширина запрещенной зоны не зависят от легирования. Все это означает, что введение европия в $a\text{-Si(H)}$ сдвигает уровень Ферми к E_c (для образца, полученного при $T_s = -380^\circ\text{C}$, $E_c = 0.25$ эВ). Действие примеси европия можно объяснить образованием в щели подвижности $a\text{-Si(H)}$ полосы донорных уровней, электроны с которых заселяют нижележащие пустые состояния и поднимают уровень Ферми. Эффективность легирования в такой модели должна возрастать при уменьшении концентрации собственных дефектов, что и проявляется в зависимости F от температуры подложки в легированных европием образцах (см. таблицу).

Мессбауэровские спектры ^{151}Eu в $a\text{-Si(H)}$ (рис. 2, б) состоят из двух линий, отвечающих Eu^{2+} ($\delta = -11.7$ мм/с) и Eu^{3+} ($\delta = -1.7$ мм/с, оба сдвига относительно Eu_2O_3). Эти линии относятся к нейтральному и ионизованному состояниям донорного центра европия соответственно. В образовании химических связей участвуют два 6s-электрона, а один из 4f-электронов европия играет роль донорного электрона.

Таким образом, железо и европий образуют в $a\text{-Si(H)}$ электрически активные центры, нейтральное состояние которых соответствует ионам с полузаполненной оболочкой $3d^5$ для железа и $4f^7$ для европия. Различный характер (акцепторный или донорный) электрической активности центров железа и европия, по-видимому, следует связывать с различием свойств полузаполненных оболочек $3d$ и $4f$ этих элементов.

Л и т е р а т у р а

- [1] Аморфные полупроводники / Под ред. М. Бродски. М., 1982. 419 с.
- [2] Hydrogen amorphous silicon Electronic and transport properties / Ed. by J. Pankove. N. Y.—London, 1984. 437 p.
- [3] Насрединов Ф. С., Мездрагина М. М., Подхалюзин В. П., Серегин П. П. Мессбауэровское исследование примесных атомов железа в аморфном кремнии. — ФТТ, 1986, т. 28, в. 8, с. 2543—2546.

Физико-технический институт
им. А. Ф. Иоффе АН СССР
Ленинград

Получено 18.05.1987
Принято к печати 2.06.1987

ФТП, том 22, вып. 1, 1988

О МЕХАНИЗМЕ ДИФФУЗИИ БОРА В КАРБИДЕ КРЕМНИЯ

Константинов А. О.

Диффузия бора является одним из основных методов создания $p-n$ -переходов на карбиде кремния и исследовалась в большом количестве экспериментальных работ [1—6]. В этих работах был установлен ряд аномальных особенностей

ностей процесса диффузии, которые до настоящего времени не получили адекватного теоретического объяснения. Наиболее существенной аномалией является наличие нелокальной зависимости коэффициента диффузии бора от его концентрации: скорость диффузионного переноса бора не только определяется величиной концентрации c_B и ее градиентом, но и существенно зависит от концентрации бора на поверхности кристалла, c_B^S , $D_B = f(c_B, c_B^S)$. Зависимость коэффициента диффузии от c_B^S столь сильна, что вид профилей диффузионного распределения бора с изменением c_B^S кардинально изменяется. Авторы [5, 6] предположили, что эти аномалии связаны с наличием целого ряда различных ассоциатов бора, из которых наиболее подвижным является $B_C - V_C$, а также с генерацией избыточных вакансий вследствие донорно-акцепторного взаимодействия.

В настоящей работе показано, что наблюдаемые явления находят естественное объяснение в рамках модели диффузии примеси в составе подвижных примесно-дефектных ассоциатов одного типа. Предполагается, что бор в решетке SiC может перемещаться только в составе такого ассоциата. В процессе диффузии в объеме кристалла ассоциаты распадаются и объем кристалла сильно обогащается собственными дефектами. Следствием накачки неравновесных собственных дефектов является увеличение вероятности перехода бора в подвижный ассоциат.

Для рассматриваемого процесса нами было получено аналитическое выражение для нелокального концентрационно-зависимого коэффициента диффузии бора в SiC $D_B = f(c_B, c_B^S)$ и рассчитаны профили распределения бора, хорошо согласующиеся с экспериментальными. Формальная схема описания качественно сходна с рассмотренной ранее для кремния в работах Йошиды [7], Морхеда и Левера [8].

1. Формальная схема описания процесса диффузии. В настоящее время отсутствуют прямые экспериментальные данные о диффузионно-подвижном состоянии бора при высокой температуре. Мы будем предполагать, что такое состояние является ассоциатом атома бора с точечным дефектом решетки. Наиболее простая модель образования такого ассоциата, которую мы и рассмотрим далее, описывается уравнением реакции

$$B + D \rightleftharpoons A, \quad c_B c_D = c_A k(T), \quad (1)$$

где B , D и A — бор, точечный дефект и ассоциат, c_B , c_D , c_A — соответствующие концентрации, $k(T)$ — константа равновесия. Сначала мы предположим, что образующийся ассоциат достаточно прочен, т. е. проходит без распада расстояние, заметно превышающее постоянную решетки. Тогда потоки примеси и дефектов в объем кристалла оказываются коррелированными. После распада примесно-дефектного ассоциата образуется избыточный точечный дефект. Если концентрация диффундирующей примеси достаточно велика, то избыточные дефекты не успевают стекать на поверхность и их концентрация в объеме кристалла становится существенно выше равновесной. Полагая, что бор может перемещаться в решетке SiC только в составе ассоциата с дефектом, можем записать уравнения непрерывности в виде

$$\frac{\partial c_B}{\partial t} + \frac{\partial c_A}{\partial t} = \frac{\partial}{\partial x} \left[D_A \frac{\partial c_A}{\partial x} \right], \quad (2)$$

$$\frac{\partial c_D}{\partial t} + \frac{\partial c_A}{\partial t} - \frac{\partial c_B}{\partial t} = D_D \frac{\partial^2 c_D}{\partial x^2}. \quad (3)$$

Будем предполагать, что концентрация диффузионно-активных ассоциатов мала по сравнению с концентрацией примеси в узлах решетки $c_B \gg c_A$.

Поскольку интересующий нас процесс накачки избыточных дефектов происходит только в сильно легированной бором области, то в этой области разумно полагать также $c_B \gg c_D$ и исключить соответствующие члены в левой части диффузионных уравнений (2) и (3). Приравнивая правые части (2) и (3), после интегрирования получаем

$$D_A \frac{\partial c_A}{\partial x} = -D_D \frac{\partial c_D}{\partial x}.$$

(4)

Константу интегрирования мы приравняли нулю из физических соображений. Полагая, что поверхностная концентрация дефектов есть термодинамически равновесная величина $c_D^S = c_D^e$, из уравнения (4) получаем локальную связь концентрации примеси и дефектов

$$c_D = \frac{c_B^S + a}{c_B + a} c_D^e,$$

где a — критическая концентрация бора, $a = (D_D/D_A) k(T)$. С учетом принятых допущений уравнение (2) легко приводится к традиционному виду уравнения концентрационно-зависимой диффузии

$$\frac{\partial c_B}{\partial t} = \frac{\partial}{\partial x} \left[D_B(c_B) \frac{\partial c_B}{\partial x} \right],$$

где

$$D_B(c_B) = \frac{D_A}{k} c_D \left[1 + \frac{\partial c_D / \partial x}{\partial c_B / \partial x} \frac{c_B}{c_D} \right].$$

Используя распределение дефектов (5), получаем

$$D_B = D_D c_D \frac{c_B^S + a}{(c_B + a)^2}.$$

В пределе низкой поверхностной концентрации $c_B^S \ll a$ коэффициент диффузии постоянен и равен D_B^i ,

$$D_B^i = \frac{D_D c_D}{a}.$$

Отметим, что при высокой поверхностной концентрации бора $c_B^S > a$ одновременно происходит ускорение диффузии на «хвосте» диффузионного распределения и замедление у поверхности на один и тот же множитель E ,

$$E = 1 + c_B^S/a.$$

Профили диффузионного распределения бора находились численным решением уравнения (6) с концентрационной зависимостью $D_B(c_B)$ (8) и граничными условиями $c_B = c_B^S$ при $x=0$ и $c_B = 0$ при $x=\infty$. Зависимость нормированной концентрации бора $\tilde{c}_B = c_B/a$ от диффузионной переменной $\lambda = x/2\sqrt{ED_B t}$ находилась непосредственным интегрированием (6) по методу Рунге—Кутта четвертого порядка. Результаты расчетов представлены на рис. 1. При низких поверхностных концентрациях бора $c_B^S \ll a$ зависимости $c_B(\lambda)$ приближаются к стандартному erf-распределению. С ростом c_B^S вблизи поверхности появляется участок крутого спада. Асимптотическое решение для $\lambda > 1$, $c_B^S \gg 1$ близко к зависимости $c_B = 0.5 a \text{ erf}(\lambda)$.

Обсудим применимость сделанных при расчете допущений. Может показаться неожиданным, что концентрация дефектов не стремится к нулю при $x \rightarrow \infty$. Это следствие того, что нас интересовала лишь область высокой концентрации бора $c_B \geq a \gg c_D$. За пределами фронта диффузии бора уравнение непрерывности для потока дефектов есть обыкновенное диффузионное уравнение с постоянным коэффициентом диффузии, поскольку второй и третий члены в левой части (3) обращаются в нуль. Коэффициенты диффузии точечных дефектов обычно на много порядков превосходят коэффициенты диффузии примесей, поэтому при $c_B \ll a$ с хорошей точностью

$$c_D = c_D^e E \text{ erfc}(x/2\sqrt{D_D t}).$$

В расчете мы пренебрегли скоростью стока неравновесных точечных дефектов на дислокации и другие несовершенства в объеме кристалла по сравнению со скоростью стока на поверхность. Это оправдано, поскольку среднее расстояние между дислокациями в качественных кристаллах карбида кремния составляет десятки—сотни микрометров, что превосходит типичные глубины диффузии.

2. Сопоставление с экспериментальными результатами. В экспериментальных работах по исследованию диффузии бора в SiC отмечается, что глубина залегания слоя с заданной концентрацией пропорциональна квадратному корню из времени диффузии [3–6]. Обсуждавшиеся выше процессы захвата неравновесных точечных дефектов на различного рода «ловушки» нарушают инвариантность диффузионных уравнений относительно x/\sqrt{t} . Исключение этих процессов из рассмотрения имеет, таким образом, определенное экспериментальное обоснование.

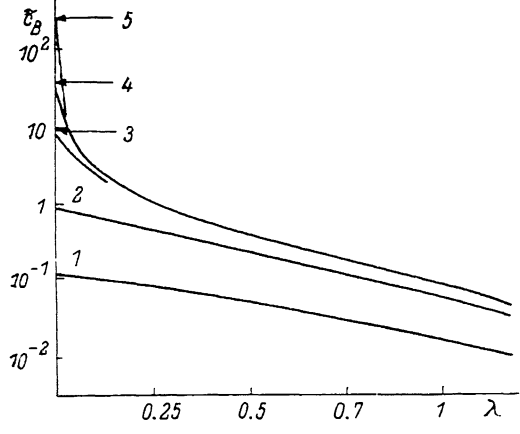


Рис. 1. Профили примеси для поверхностной концентрации.

$$c_B^S/a: 1 - 0.12, 2 - 0.91, 3 - 9.1, 4 - 40, 5 - 250.$$

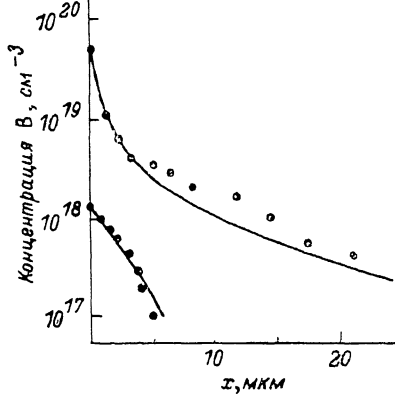


Рис. 2. Экспериментальные (сплошные линии) и расчетные (точки) профили распределения бора для поверхностных концентраций 1.2×10^{18} и $5 \cdot 10^{19} \text{ см}^{-3}$.

$$\text{Величина критической концентрации } a = 1.2 \cdot 10^{18} \text{ см}^{-3}.$$

Профили диффузионного распределения бора [3–6] при высокой поверхностной концентрации характеризуются наличием «быстрой» объемной и «медленной» приповерхностных ветвей. При низкой поверхностной концентрации $c_B^S < 10^{18} \text{ см}^{-3}$ профиль близок к стандартному erf c -распределению, а глубина проникновения значительно меньше. Эти данные хорошо согласуются с полученными в предыдущем разделе результатами. Экспериментальные (1950°C , 4 ч) и расчетные профили для величин поверхностной концентрации бора $1.2 \cdot 10^{18}$ и $5 \cdot 10^{19} \text{ см}^{-3}$ приведены на рис. 2. При численном расчете предполагалось, что величина критической концентрации бора $a = 1.2 \cdot 10^{18} \text{ см}^{-3}$.

Предлагаемая модель диффузии бора хорошо объясняет также экспериментальные данные по диффузионной «разгонке» бора в карбиде кремния [9]. В работе [9] диффузия бора проводилась в две стадии. На первой стадии бор вводился традиционным способом — из насыщенного пара. На второй стадии диффузионный отжиг проводился в чистых условиях, т. е. в среде, не содержащей бора. При этом диффузия замедлялась. Замедление было особенно сильным, когда удалялся приповерхностный сильно легированный бором слой. Согласно нашей модели, высокая скорость диффузии бора в объеме кристалла определяется накачкой неравновесных точечных дефектов из приповерхностного сильно легированного слоя. Частичное или полное удаление этого слоя приводит к ослаблению или исчезновению эффекта накачки и к замедлению диффузии.

При высоких температурах диффузии ($T > 2000 \div 2100^\circ\text{C}$) вид профилей диффузии бора несколько изменяется. В дополнение к рассмотренным выше

особенностям, проявляющимся в низкотемпературных ($T < 2000$ °C) профилях, высокотемпературные диффузионные профили имеют область замедления диффузии на «хвосте» объемной ветви распределения. Этот эффект может быть связан как с влиянием на диффузию встроенного поля, так и со стоком неравновесных точечных дефектов на дислокации и другие несовершенства. Предложенная в настоящей работе модель не учитывает эти процессы. Заметим также, что, пренебрегая эффектом встроенного поля, мы фактически предполагаем малую степень ионизации бора при температуре диффузии.

Известно, что введение в паровую фазу избытка кремния ускоряет диффузию бора [3]. Это можно понимать как следствие увеличения равновесной концентрации собственных дефектов c_d . Наша модель, следовательно, может соответствовать двум альтернативным вариантам — накачке избыточных углеродных вакансий или же накачке межузельных атомов кремния. Однозначная идентификация типа диффузационно-активных ассоциатов может быть проведена установлением типа избыточных точечных дефектов, генерируемых в объеме кристалла при диффузии бора.

Автор благодарит Ю. А. Водакова, Г. А. Ломакину и Е. Н. Мохова за полезные обсуждения.

Л и т е р а т у р а

- [1] Водаков Ю. А., Ломакина Г. А., Мохов Е. Н., Ренфман М. В. Диффузия бора и алюминия в $n\text{-SiC}$. — ФТП, 1966, т. 8, в. 4, с. 1298—1299.
- [2] Potter R. M., Blank I. M., Addamiano A. — J. Appl. Phys., 1969, v. 40, N 5, p. 2252—2257.
- [3] Мохов Е. Н., Водаков Ю. А., Ломакина Г. А., Одинг В. Г., Холуянов Г. Ф., Семенов В. В. Диффузия бора в карбиде кремния. — ФТП, 1972, т. 6, в. 3, с. 482—487.
- [4] Мохов Е. Н., Рамм М. Г., Усмanova M. M., Зверев Б. П., Жумасев Г. В. Влияние азота на диффузию бора в карбиде кремния. — В кн.: Матер. II Всес. совещ. «Широкозонные полупроводники». Л., 1980, с. 316—320.
- [5] Симахин Ю. Ф., Зверев Б. П., Жумасев Н., Усмanova M. M., Мохов Е. Н., Рамм М. Г. Исследование диффузионного распределения бора в карбиде кремния. — В кн.: Свойства легированных полупроводников / Под ред. В. С. Земскова. М., 1977, с. 240.
- [6] Мохов Е. Н., Водаков Ю. А., Ломакина Г. А., Одинг В. Г., Семенов В. В., Соколов В. И. Современные представления о полупроводниковых свойствах карбида кремния. — В кн.: Матер. II Всес. совещ. «Широкозонные полупроводники». Л., 1980, с. 164—184.
- [7] Yoshida M. — J. Appl. Phys., 1977, v. 48, N 6, p. 2169—2174.
- [8] Morehead F. F., Lever R. F. — Appl. Phys. Lett., 1986, v. 48, N 2, p. 151—153.
- [9] Мохов Е. Н. Диффузия примесей в карбиде кремния. — Автореф. канд. дисс. Л., 1974.

Физико-технический институт
им. А. Ф. Иоффе АН СССР
Ленинград

Получено 18.05.1987
Принято к печати 2.06.1987

ФТП, том 22, вып. 1, 1988

ОСОБЕННОСТИ СТАЦИОНАРНОЙ ФОТОПРОВОДИМОСТИ АМОРФНОГО ГИДРОГЕНИЗИРОВАННОГО КРЕМНИЯ

Балагуров Л. А., Омельяновский Э. М.,
Осташко С. А., Стариков М. Н., Стыс Л. Е.

В настоящее время уже значительное количество работ посвящено изучению стационарной фотопроводимости $a\text{-Si : H}$ [1—4]. Такие исследования могут дать важную информацию как о механизмах рекомбинации, так и о плотности состояний в псевдозапрещенной зоне $a\text{-Si : H}$. Однако до сих пор отсутствует единая точка зрения по поводу интерпретации имеющихся экспериментальных данных. В частности, дискутируется вопрос о причинах неизменности показателя люксамперной характеристики (ЛАХ) β в широком интервале интенсивностей возбуждающего света [2]. В [2] показано, что такое поведение β в